

# 平行弦ワーレントラスの最小重量設計について

ハ戸工業大学 正会員 長谷川 明

## 1. はじめに

トラスの最適設計を行なう上で大きな障害となるのは、トラス一部材毎に断面形、断面寸法等、設計変数が多いことである。このため、サブオプティマイゼーションを実施し、予めトラスに加わる軸力、部材長から最適断面を決定しておき、その後全体の最適化を行う方法である。本論は、サブオプティマイゼーションによって得られた部材の弱筋回りの断面2次モーメント $I_2$ と断面積 $A_2$ の関係式

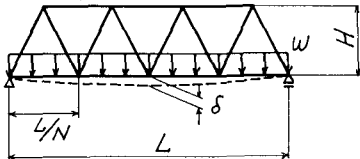
$$I_2 = \alpha A_2^2 \quad (\alpha = \text{const}) \quad (1)$$

を用い、設計を無次元化し、より一般性のある解を与えるとするものである。

## 2. 最適問題の無次元化

対象とするモデルはFig 1の平行弦ワーレントラスである。

Fig 1  
モデル



ここで  $L$ : スパン  $H$ : 構高  $W$ : 等分布荷重  
 $\delta$ : たわみ  $N$ : 幅間数

非無次元化の最適問題は次の制約条件

a) 許容応力に關し  $\sigma_{ca} < \sigma_i < \sigma_{ta}$  (2)

b) 細長比に關し  $\lambda_i < \lambda_{max}$  (3)

c) たわみに關し  $\delta < \delta_{max}$  (4)

のもとで目的関数  $V = \sum A_i l_i \rightarrow \min.$  (5)

とするものである。今、次のパラメータ

$$\bar{w} = w/L, \bar{F}_c = F_c/L, \bar{A}_i = A_i/L \quad (6)$$

を用いると各状態変数は次のようにな表わされる。

a) 軸力 $F_i$   $\bar{F}_i = \bar{w} \cdot f_i(N, H/L)$  (7)

b) 部材長 $l_i$   $\bar{l}_i = g_i(N, H/L)$  (8)

c) 細長比 $\lambda_i$   $\lambda_i = g_i(N, H/L) / \sqrt{\bar{A}_i}$  (9)

d) 応力 $\sigma_i$   $\sigma_i = \bar{F}_i / \bar{A}_i$  (10)

e) たわみ $\delta$   $\delta = \sum_{i=1}^{N-1} e_i(N, \frac{H}{L}, g_i(N, H/L), \bar{F}_i / E)$  (11)

ここで $e_i, g_i, f_i$ は幅間数 $N$ と構高ースパン比 $H/L$ の関数である。また $E$ は部材のヤング率である。

さらに制約条件式(2)～(4)はそれぞれ

$$\sigma_{ca} / \sigma_{ta} < \sigma_i / \sigma_{ta} < 1 \quad (2')$$

$$\lambda_i < \lambda_{max} \quad (3')$$

$$\delta / L < \delta_{max} / L \quad (4')$$

となる。また目的関数 $V$ は(5)に無次元化パラメータを代入して

$$\bar{V} = V / L^3 = \sum_{i=1}^{N-1} \{ \bar{A}_i \cdot g_i(N, H/L) \} \quad (5')$$

となる。このように変換すると(2')～(4')および(2)～(4)から状態変数、制約条件は(1)づれも $\bar{w}, N, H/L, \bar{A}_i$ 、 $\bar{e}$ の関数で表現され、この最適化問題は $\bar{w}, N, H/L$ を設定し、目的関数(5')を最小とする設計変数 $\bar{w}, H/L$ を解く問題を考える。

## 3. 計算手順について

計算は(2)～(4)の制約条件に設計変数の移動幅の制限(move limit)の条件を加え目的関数の変化量が最小になると見なされる。設計変数の変化量を線形計画法(LP)により求めることを繰り返す逐次線形計画法(SLP)で行った。

しかし、設計変数の中で1つでも初期値とその最適値に大きな隔たりがある場合はmove limitの制約から解除されるまで無意味な試行が繰り返される。そこで本計算では、Fig 2に示すように任意の初期値を与えると、一度この初期値を基礎に構造解析を行ない、これより得られる許容応力を有し各部材が全応力(Fully stress)とみなすよう $\bar{A}_i$ を求め、これを改良初期値とし、その後逐次線形計画法により最適化を行なった。 $H/L$ の初期値につれてはこのような最適値との差が大きくなるため、任意の初期値を使つてもよい。

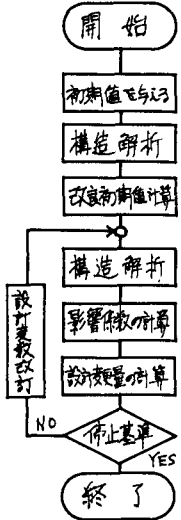


Fig 2 設計流れ図

#### 4. 計算結果および考察

Fig 3 は計算モデルを示す。制約条件は道路橋示方書による。また(1)式の(1)つりとは参考文献より等から  $\alpha = 1.56$  ( $A_0 = 0.8 I_{\text{c}}^{1/2}$ )としている。

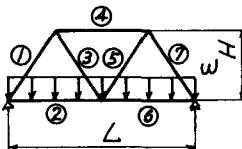


Fig 3 計算モデル

$\bar{W} = 1 \text{ kg/cm}^2$  の時の設計変数および目的関数の収束状況を Fig 4(a) に

示す。 $\bar{V}$  は 3 回目の試行からほぼ一定値となるものの  $H/L$  は試行回数 14 回目から振動し始める。同様に  $\bar{A}_1$  もわずかにから振動しており、これを防ぐため 10 回目からは mode limit を徐々に狭くしていく。この設計では許容力の制約により決定せずあり細長比、たわみに対する余裕がある。

Fig 4(b) は  $H/L$  を Fig 4(a) で得られた最適値  $H/L = 0.409$  として設計変数に応じて各々の収束状況を描いたものである。これはよろと 3 回の試行で収束し Fig 4(a) に比べ非常に収束が早い。これは床と  $H/L$  の性質の異なる変数が入り混じるためと考えられる。

Fig 5 は  $H/L$  により  $\bar{V}$  がどのように変化するか調べたものである。Fig 4 と比較すると、もともと  $H/L = 0.409$  で  $\bar{V} = 0.800632$  となり、Fig 4 の解は全局的な最適解であることがわかる。

Fig 6 は荷重パラメータ  $\bar{W}$  を  $1 \sim 20 \text{ kg/cm}^2$  の範囲で変化させ、その時の最適  $H/L$  および最小の  $\bar{V}$  を描いたものである。 $\bar{W} = 2 \text{ kg/cm}^2$  以上では、 $H/L$  は一定値をとりその値は 0.433 である。これは①、②部材のたわみが  $60^\circ$  となるところを示す。

#### 5. おわりに

本計算は簡単なトラスを例にとって二つの手法の可能性と問題点を明確にするために行ったものである。今後は解の収束性の改良、特に mode limit の意味について研究を進

めることを考えている。計算は東北大学大型計算機センターを利用した。

#### 参考文献

1. 田中尚, 中村雄治, 建築構造物の自動設計と最適設計, 増風館

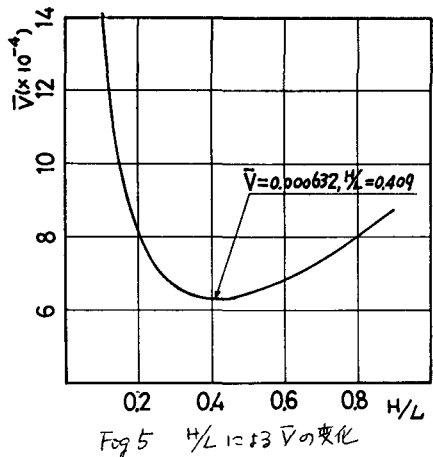


Fig 5  $H/L$  に対する  $\bar{V}$  の変化

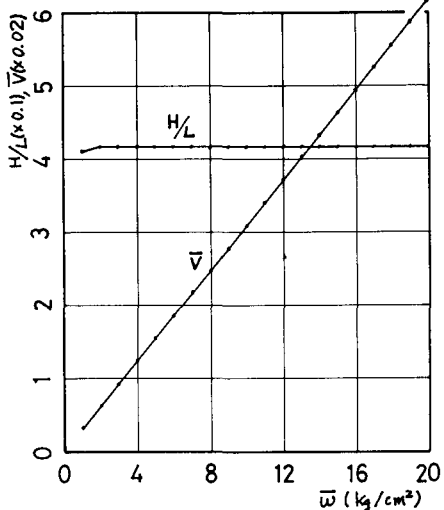
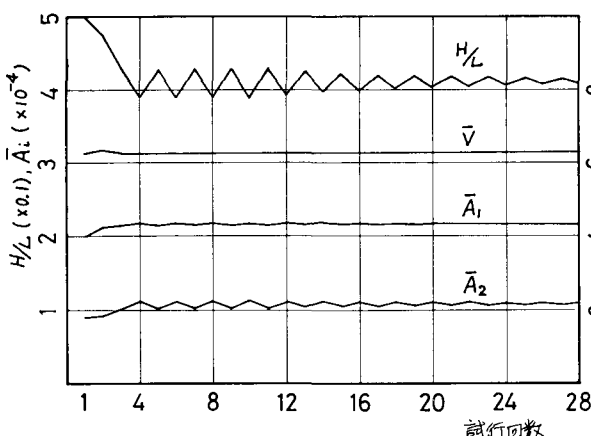
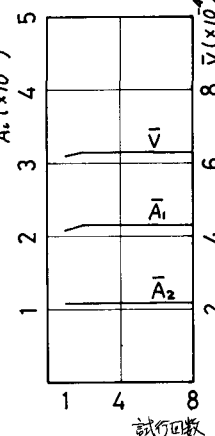


Fig 6 荷重パラメータにおける  $H/L$ ,  $\bar{V}$  の変化



(a)  $H/L$  を設計変数とした時



(b)  $H/L$  を固定した時

Fig 4 設計変数および目的関数の収束状況 ( $\bar{W} = 1 \text{ kg/cm}^2$ )